

Фрактальные характеристики структуры аврорального овала по данным камеры всего неба в Апатитах за 2013-2020 гг.

Б. В. Козелов^{*1} (ORCID 0000-0003-2738-2443)

1ФГБНУ Полярный геофизический институт, г. Апатиты, Мурманская область,
Россия

* **Контакт:** Козелов Борис Владимирович, e-mail: bob-koz@yandex.ru

Аннотация: Пространственная структура полярных сияний описывается фрактальной размерностью флюктуаций свечения и ее анизотропией в зависимости от направления. Фрактальная размерность оценивается из наклона в логарифмических осях спектра в диапазоне 1,5-50 км, полученного дискретным вейвлет-преобразованием флюктуаций интенсивности свечения с использованием вейвлетов Добеши 5 порядка. Вариабельность структур характеризуется наклоном спектра вариации анизотропии во времени. Приведена статистика этих характеристик по данным наземной камеры всего неба Полярного геофизического института в г. Апатиты за 2013-2020 годы и сделана привязка по положению внутри аврорального овала и значениям геомагнитного поля в обсерватории Ловозеро. Обсуждается алгоритм моделирования структуры полярных сияний по данным характеристикам.

© 2024. Коллектив авторов



Ключевые слова: аврора, суббуря, высыпания частиц, высокоширотная ионосфера, скейлинг, фрактальный индекс, анизотропия, пульсирующие полярные сияния, фаза расширения.

Fractal Characteristics of the Auroral Oval Structure According to the All-Sky Camera Data in Apatity for 2013-2020

B.V. Kozelov^{*1} (ORCID 0000-0003-2738-2443)

¹Polar Geophysical Institute, 194209, Apatity, Murmansk region, Russia

* **Correspondence to:** Boris Kozelov, bob-koz@yandex.ru

Abstract: The spatial structure of polar auroras is described by the fractal dimension of glow fluctuations and its anisotropy from direction. The fractal dimension is estimated from the slope in the logarithmic axes of the spectrum in the range of 1.5-50 km, obtained through discrete wavelet transformation of the intensity fluctuation of the glow using Daubechies wavelets of order 5. The variability of the structures is characterized by the slope of the anisotropy variation spectrum over time. The statistics of these characteristics are presented according to the data of the ground-based all-sky camera of the Polar Geophysical Institute in Apatity for 2013-2020 and referenced to the position inside the auroral oval and the values of the geomagnetic field at Lovozerо observatory. An algorithm for modeling the structure of polar auroras based on these characteristics is discussed.

© 2024. The Authors.



46
47

Keywords: aurora, substorm, particle precipitation, high-latitude ionosphere, scaling,
fractal index, anisotropy, pulsating auroras, expansion phase.

48

49 Введение

50 Существенным элементом глобальных моделей верхней атмосферы и
51 высокоширотной ионосферы Земли является моделирование воздействия
52 энергичных частиц, высыпающихся в эту область из магнитосферы Земли и
53 вызывающих видимые проявления в виде полярных сияний [Akasofu, 1968;
54 Feldstein and Starkov, 1967]. Однако существующие на данный момент модели
55 таких высыпаний, называемые также моделями аврорального овала, [Hardy et
56 al., 1985; Milan et al., 2010; Vorobjev et al., 2013; Newell et al., 2014]
57 ориентированы в основном на описание только границ зоны высыпаний,
58 среднего потока и средней энергии авроральных частиц, в лучшем случае с
59 разбиением на морфологические типы (диффузные, дискретные и т. п.).
60 Структуры внутри этих границ модели не описывают.

61 Для описания структуры аврорального свечения в работах
62 [Головчанская и Козелов, 2016; Kozelov et al., 2024] ранее использовался
63 подход, основанный на оценке фрактальной размерности методом «лог-скайл
64 скалограмм» [Abry et al., 2000]. Численные тесты данной методики и
65 необходимых коррекций приведены в работе [Kozelov and Golovchanskaya,
66 2010]. Пространственная структура полярных сияний описывается
67 фрактальной размерностью флуктуаций свечения при сечении области
68 свечения в заданном направлении. Статистические распределения
69 фрактальных характеристик по данным камеры всего неба в Апатитах за
70 2013-2015 гг. приводятся в [Козелов и Ролдугин, 2024].

71 В данной работе статистика расширена на период до 2020, охватывая
72 все время работы однотипной камеры всего неба в Апатитах.
73 Анализировались статистические особенности характеристик структуры
74 аврорального свечения от положения внутри аврорального овала, индексов
75 геомагнитной возмущенности и значений геомагнитного поля в рядом
76 расположенной обсерватории Ловозеро.

77 Данные и методика обработки

78 Использовались изображения, полученные камерой всего неба в
79 Апатитах ($67^{\circ}34'N$, $33^{\circ}16'E$) в сезоны 2013-2020 гг. Описание камеры всего
80 неба, входящей в систему авроральных камер MAIN, приведено в работе
81 [Kozelov et al., 2012]. За все время работы этой камеры были выбраны
82 события, на которых присутствовали полярные сияния выше 10° над
83 горизонтом. Область кадра вблизи горизонта обрезалась маской. Включенные
84 в статистику события были отобраны по строгим критериям отсутствия
85 Луны, заметной облачности и сильной неоднородной засветки от города.
86 Кроме того, необходимо отметить, что в использованных данных слабые
87 диффузные сияния не видны или плохо различимы при слабой облачности и
88 наличие ярких источников света. Нижний порог интенсивности свечения,
89 вошедших в статистику, можно оценить как ~ 10 килорелей [Харгривс, 1982].

90 Методика обработки кадров всего неба для получения
91 пространственных индексов флуктуаций свечения описана в [Kozelov et al.,
92 2024], где подробно анализируется случай развития типичной авроральной
93 суббури 13 сентября 2013 года. Коротко она заключается в следующем:

94 1) Выделяется прямоугольная область от зенита в азимутальном
95 направлении φ .
96 2) Флуктуации светимости в этой области в направлении длинной
97 стороны прямоугольника «склеиваются» в единый массив и для данного
98 массива вычисляется его дискретное вейвлет-разложение. Использовались
99 вейвлеты Добеши 5 порядка. Порядок вейвлетов выбран согласно тестам в
100 работе [Kozelov and Golovchanskaya, 2010].
101 3) По зависимости логарифма дисперсии детализирующих
102 коэффициентов от логарифма масштаба определяется спектральный индекс
103 a , характеризующий наклон в диапазоне масштабов 1,5-50 км.
104 4) Процедура повторяется для ориентаций φ прямоугольной области с
105 поворотом φ по азимуту от 0 до 360° с шагом 5° .
106 5) По зависимости $a(\varphi)$ для данного кадра определяются $\min(a)$, $\max(a)$ и
107 параметр анизотропии $\min(a)/\max(a)$.
108 Полученные величины $A=\max(a)$ и $B=\min(a)/\max(a)$ характеризуют
109 спектр пространственных флуктуаций свечения в диапазоне масштабов 1,5-50
110 км в поле зрения камеры и насколько эти флуктуации свечения изотропные.
111 Временное разрешение данных 1 кадр в секунду. Вычислялось среднее
112 значение параметров A и B по 5-минутным интервалам. Из зависимости от
113 вариаций параметра B в течении 5-минутных интервалов находился
114 временной фрактальный индекс C . Индекс C вычислялся этим же методом
115 «лог-скайл скалограмм» из оценки наклона спектра с использованием тоже
116 вейвлетов Добеши, обеспечивающих фильтрацию трендов, но 3 порядка, так
117 как ряд из 300 точек достаточно короткий.

118 Результаты

119 Распределения значений полученных параметров для 5-минутных
120 интервалов приведены на рис.1а-в, где разными цветами выделены
121 распределения значений для некоторых морфологически различимых
122 ситуаций в поле зрения камеры:

123 1) взрывная фаза — на кеограмме есть быстрое расширение зоны сияний
124 в направлении север-юг (брейкап) или больше половины поля зрения камеры
125 занимают активные формы после брейкапа, внутри движущегося к западу
126 изгиба (WTS);

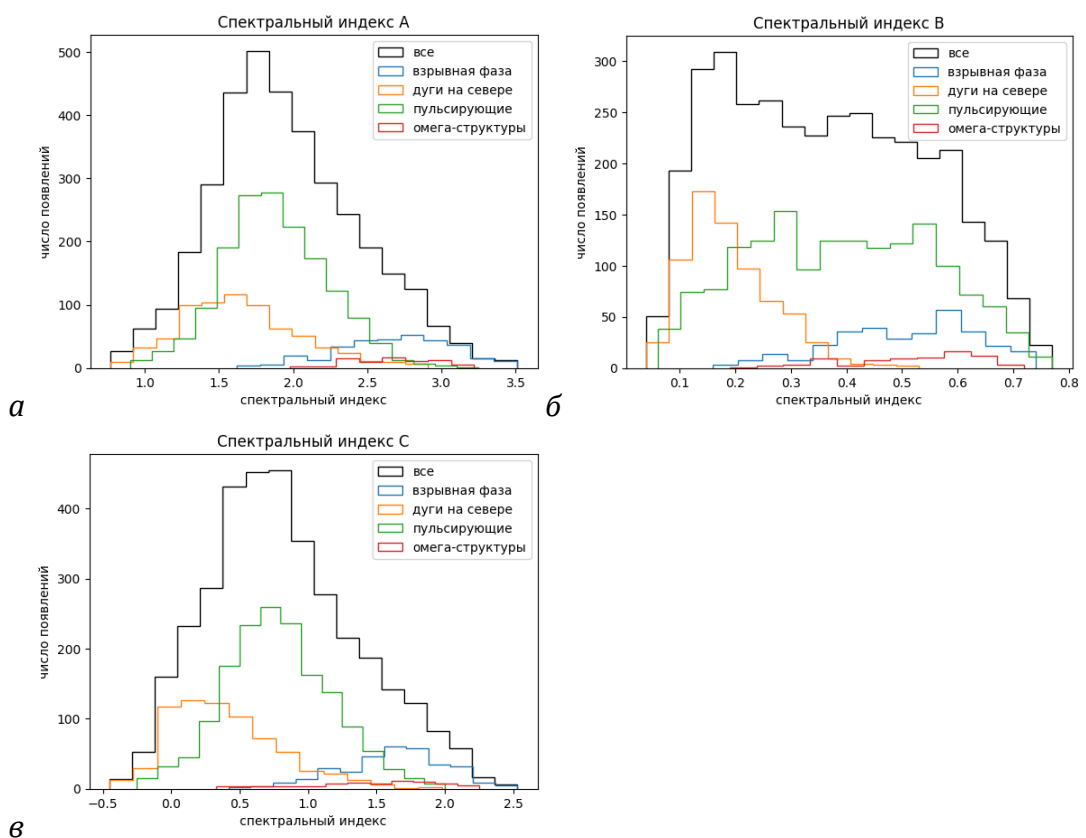
127 2) к северу от зенита кадра видны спокойные или с небольшими
128 возмущениями дуги или полосы;

129 3) в поле зрения камеры находятся, в основном, пульсирующие сияния;

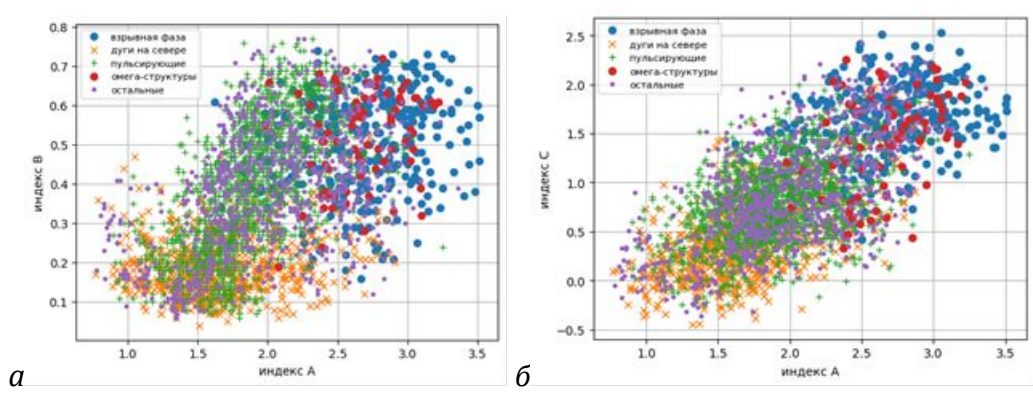
130 4) в поле зрения камеры находится омега-форма, то есть бухто-образная
131 яркая форма на северной границе мультиплетной, состоящей из множества
132 узких дуг, полосы.

133 Для пространственных флуктуаций свечения приведены распределения
134 максимальных значений спектрального индекса (рис.1-а). Эти распределения
135 и распределение для временного индекса C (рис.1-в) имеют плавный вид с
136 одним выраженным максимумом. Распределение для индекса B имеет
137 широкий максимум (рис.1-б). Можно выделить две группы — анизотропную B
138 $<0,35$, основной вклад в которую дают дуги на севере, и более изотропную B
139 $>0,35$, соответствующая активным сияниям. Отметим, что индекс B — это

140 анизотропия не просто линейного размера пространственных флюктуаций
141 свечения, а спектрального индекса, т. е. оценки фрактального индекса
142 пространственных флюктуаций свечения в разных направлениях.
143



144
145 Рисунок 1. Распределения значений спектральных индексов: а — для
146 пространственных флюктуаций свечения, максимальное значение обозначено
147 «индекс А»; б — для анизотропии пространственных флюктуаций свечения —
148 отношение минимального к максимальному значению (обозначено «индекс
149 В»); в — для временных флюктуаций анизотропии (обозначено «индекс С»).
150 Линиями разных цветов выделены некоторые морфологически различные
151 ситуации в поле зрения камеры.
152
153



154 Рисунок 2. Распределения индексов: а - В от А; б - С от А. Разными
155 символами выделены некоторые морфологически различные ситуации в
156 поле зрения камеры (см. текст).
157
158

159 На рис. 2 приведены распределения полученных значений индексов B
160 от A и C от A . Разными символами выделены некоторые морфологически
161 различимые ситуации в поле зрения камеры, описанные ранее. Более
162 сложные и комбинированные случаи, которые нельзя отнести однозначно к
163 предыдущим, отнесены к группе «остальные».

164 Средние значения индексов со значениями стандартных отклонений
165 для выделенных групп приведены в таблице 1. Из приведенной статистики
166 видно, что взрывные фазы и омега-формы в среднем характеризуются
167 большими значениях индекса $A > 2,0$ и $C > 1,0$, и индексом B , в основном, из
168 группы $B > 0,35$. Дуги и полосы на севере кадра — в основном значениями
169 индексов $A < 2,0$, $B < 0,35$, $C < 0,5$. Пульсирующие формы - значениями индексов A
170 и C меньше, чем для взрывных фаз, по индексу B нет очевидной локализации.

171 **Таблица 1.** Средние значения и стандартные отклонения спектральных индексов для
172 выделенных событий.

	Индекс A	Индекс B	Индекс C
Все точки	$1,95 \pm 0,49$	$0,36 \pm 0,17$	$0,82 \pm 0,55$
Взрывная фаза	$2,69 \pm 0,39$	$0,50 \pm 0,13$	$1,63 \pm 0,38$
Дуги на севере	$1,66 \pm 0,40$	$0,19 \pm 0,08$	$0,39 \pm 0,40$
Пульсирующие	$1,88 \pm 0,35$	$0,39 \pm 0,17$	$0,78 \pm 0,37$
Омега-структуры	$2,67 \pm 0,29$	$0,52 \pm 0,12$	$1,44 \pm 0,50$
Остальные	$1,99 \pm 0,49$	$0,39 \pm 0,16$	$0,90 \pm 0,56$

Локализация событий

175 Зависимости локализации выделенных выше групп событий от
176 местного магнитного времени MLT, а также от компонент H , D , Z
177 геомагнитного поля, измеренных в ближайшей к г. Апатиты обсерватории
178 ПГИ Ловозеро, показаны на рис.3. Пробелы в данных Ловозеро пополнены
179 данными близкой обсерватории ПГИ Лопарская, что не влияет на дальнейшие
180 результаты. Наблюдения соответствуют ожидаемой морфологии основных
181 форм в полярных сияниях [Akasofu, 1968; Харгривс, 1982]:

182 - спокойные или с небольшими возмущениями дуги или полосы к северу
183 от зенита видны в основном вечером до полуночи при H и D компонентах от 0
184 до +200 нТ;

185 - взрывные фазы в полярных сияниях видны в основном вечером до 01
186 MLT, омега-формы — после 01 MLT утром;

187 - пульсирующие сияния наблюдаются от позднего вечера (~ 20 MLT) до
188 позднего утра (~ 8 MLT).

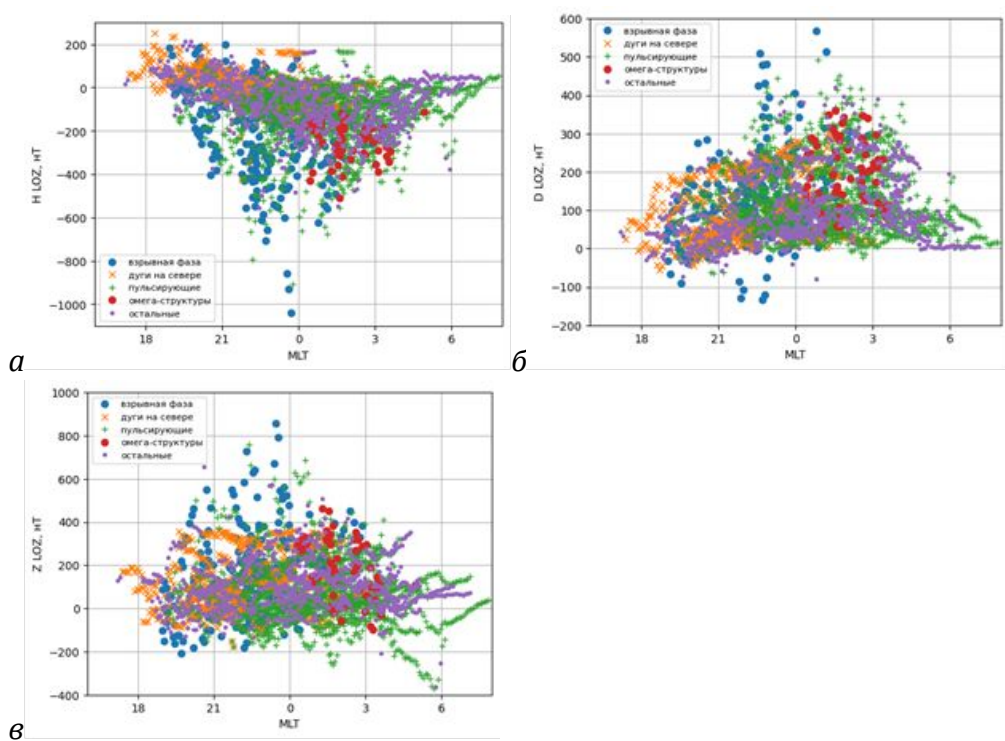


Рисунок 3. Локализация выделенных групп событий от местного магнитного времени MLT и от компонент геомагнитного поля, измеренных в обс. Ловозеро: а — в осях MLT и H; б - в осях MLT и D; в - в осях MLT и Z.

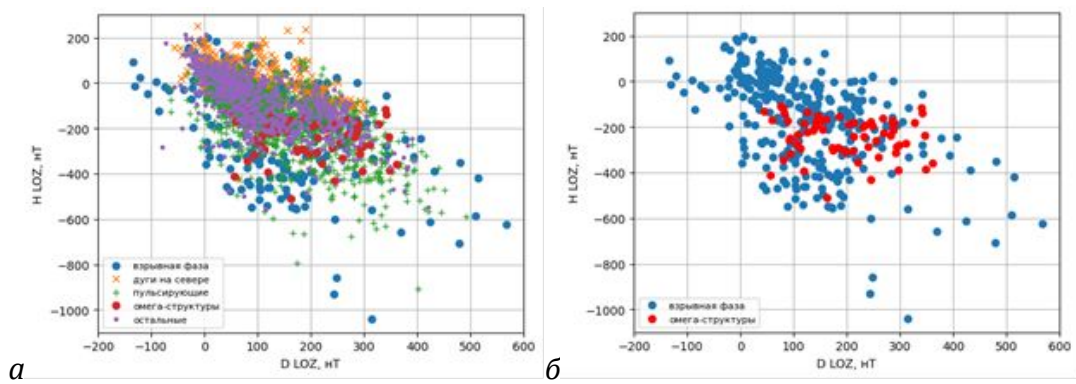


Рисунок 4. Локализация выделенных групп событий и от компонент геомагнитного поля, измеренных в обс. Ловозеро: а — в осях D и H компонент; б – то же, но только взрывные фазы и омега-структуры.

Положение выделенных групп событий от H и D компонент магнитного поля в обсерватории Ловозеро показано на рис.4-а. Видно, что есть обратная пропорциональность между H и D компонентами, при которых наблюдаются сияния в Апатитах. Это определяется пересечением точкой наблюдения аврорального овала: с ростом общей возмущенности (H компонента становится более отрицательной) пересечение авроральной зоны точкой наблюдения (г.Апатиты) происходит преимущественно при больших значениях D компоненты, то есть в среднем меняется ориентация магнитного поля относительно направления на

магнитный полюс, при котором наблюдаются сияния. На рис.4-б приведены только выборки по событиям, отнесенными к взрывным фазам и омега-формам. Сияния, отнесенные к взрывным фазам, наблюдаются в широком диапазоне значений H и D компонент, а омега-формы в более ограниченном диапазоне, при $D > 0$ нТ и -100 нТ $> H > -400$ нТ. Это, видимо, связано с тем, что омега-формы не связаны со значительными перемещениями сияний по широте, поэтому их появление на данной широте происходит примерно при одинаковом возмущении магнитного поля, обеспечивающем расширение овала полярных сияний до широты наблюдений. Во время взрывной фазы происходит расширение зоны полярных сияний, захватывающее большой диапазон широт. Поэтому появление сияний на данной широте во время взрывной фазы суббури возможно в большем диапазоне магнитных возмущений.

Надо отметить, что экстремальные значения магнитного поля (наиболее низкие значения H -компоненты и наибольшие значения D -компоненты) наблюдались во время взрывных фаз. В среднем взрывные фазы наблюдались при более низких значениях H -компоненты локального магнитного поля, чем в среднем для остальных событий при заданных значениях D -компоненты магнитного поля.

Определенных зависимостей от индексов AL, AU, AE, Dst, SYM-H на данном наборе данных выявить не удалось, что не удивительно, т. к. это глобальные индексы, а спектральные индексы и группы сияний получены по локальным наблюдениям из одной точки. На рис.5 для иллюстрации приведены распределения значений индекса A от индексов AE и Dst.

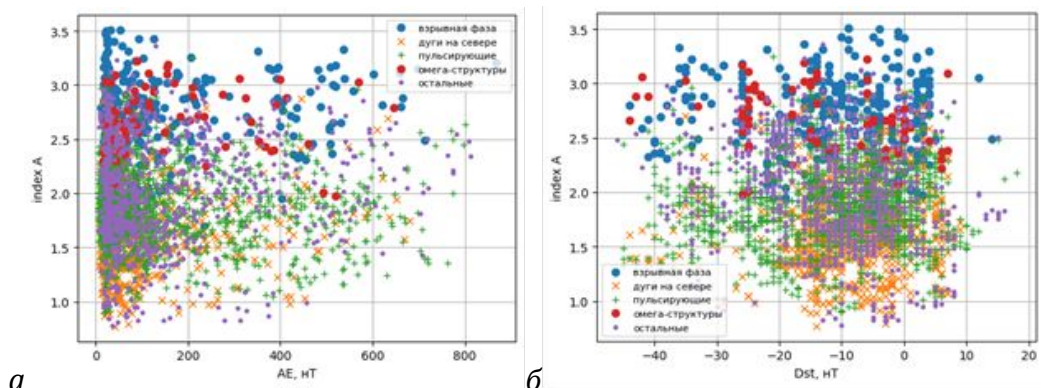


Рисунок 5. Распределение индекса A от глобальных индексов геомагнитной активности: a — от AE индекса; b — от Dst индекса. Разными цветами выделены те же группы, что на рис.2.

Обсуждение и использование результатов

Подобие авроральных структур на различных масштабах отмечалось еще в работе [Oguti, 1975]. Описание наблюдаемой структуры контуров изолиний полярных сияний с помощью фрактальной геометрии предлагалось в [Kozelov, 2003]. Теоретическое обоснование образования фрактальных, т.е. статистически самоподобных, структур в переходных процессах в космической плазме дает представление о состоянии самоорганизованной критичности [Chang, 1999; Kozelov et al., 2004]. Фрактальная структура

249 авроральных высыпаний, вероятно, связана с поддержанием на пороге
250 протекания (перколяции) ионосферно-магнитосферной токовой системы
251 [Chernyshov et al., 2013; 2017].

252 В данной работе приведены результаты систематического
253 применения методики описания структур полярных сияний фрактальной
254 размерностью и ее анизотропией. Вариабельность структур характеризуется
255 наклоном спектра вариации анизотропии во времени. Приведена статистика
256 этих характеристик по 5-минутным интервалам за 2013-2020 годы по данным
257 наблюдений наземной камеры всего неба в г. Апатиты. Применение при
258 обработке изображений вейвлетов 3 и 5 порядков обеспечивает фильтрацию
259 полиномиальных трендов для исключения систематических ошибок в оценки
260 спектров флуктуаций, возможных при наличие слабых засветок неба.

261 Многие авторы пытались и пытаются найти «характерные масштабы» в
262 полярных сияниях. При этом неявно наблюдения фильтруются аппаратной
263 функцией использованной камеры, ее пространственным, времененным и
264 спектральным разрешением, всегда являющимся компромиссом с
265 возможностью регистрации свечения газа. Имея в виду, что коллективный
266 плазменный процесс генерации потоков авроральных частиц имеет с
267 широкий пространственно-временной спектр, из него фильтрацией можно
268 получить разные масштабы. Как раз фрактальный подход пытается, хотя бы
269 для части спектра, получить характеристики такого процесса. В данном случае
270 рассматривались масштабы от 1.5 км до 50 км при временном разрешении 1 с.
271 Регистрация производилась в широком видимом диапазоне, поэтому меньшие
272 масштабы на этой аппаратуре не получить (время жизни для наиболее
273 сильной видимой линии 557.7 нм ~ 0.7 с, «скорости движения» в сияниях до 1
274 км/с).

275 Использованный в статье подход характеризует коллективный
276 свойства не только пространственно-временных масштабов, но и процессов в
277 плазме, приводящий к высыпанию частиц в атмосферу. Известно, что
278 наиболее очевидным механизмом образования полярных сияний (дуг),
279 является ускорение в поле inverted-V структуры. Такое ускорение должно
280 давать спектр электронов с максимумом. В то же время, обсуждается также
281 механизм ускорения в кинетических альвеновских волнах. Если считать, что в
282 этом случае должен формироваться непрерывный широкий по энергии
283 спектр, то наиболее вероятное проявление такого механизма — это лучистые
284 структуры. Чтобы получить луч в атмосфере надо, чтобы широкий спектр
285 электронов с $E < 1$ кэВ спадал примерно, как $1/E^2$. Бывают случаи, когда лучи
286 занимают значительную часть неба. Но таких случаев сравнительно немного
287 и, обычно, одновременно на небе есть другие сияния. Поэтому такие события
288 в нашем анализе попадает в группу «остальные» - смешанные случаи. С
289 другой стороны, в [Kozelov, Titova, 2023] было показано, что некоторые лучи
290 связаны с ОНЧ/КНЧ волнами, наблюдаемыми в магнитосфере вблизи
291 экваториальной области. Видимо, разделить эти механизмы фрактальный
292 анализ не может.

293 Полученные значения фрактальных характеристик для групп
294 различных форм полярных сияний и их локализация по положению по
295 местному магнитному времени хорошо соответствует ожидаемой

296 морфологии. Наибольшие значения фрактального индекса A и индекса
297 анизотропии B соответствуют фазам расширения и брейкапам в полярных
298 сияниях, когда наблюдается сильное расширение диапазона флюктуаций
299 интенсивности свечения внутри области распространяющегося к западу
300 изгиба (WTS). Видимо, большие фрактальные индексы объясняются
301 возникновением в системе новой крупномасштабной степени свободы,
302 связанной с формированием крупномасштабной токовой петли суббури, что
303 приводит к другому перераспределению энергии на разные масштабы, в это
304 время в среднем сияния более изотропные. Такие события наблюдаются
305 вечером, обычно до полуночи по MLT.

306 После полуночи похожие по значениям фрактальных индексов события
307 соответствуют омега-структуркам. Эта группа выделяется по характерным
308 крупным пространственным волнам в свечении, хотя такие события являются
309 «смешанным» случаем, в котором одновременно есть и пульсирующие пятна,
310 и дуги, и лучи. Видимо, такие явления можно считать проявлением
311 крупномасштабной неустойчивости Кельвина-Гельмгольца на приполюсной
312 границе аврорального овала, которая организует другие процессы в этой зоне.

313 Меньшие значения фрактального индекса A , а также меньшие значения
314 индекса анизотропии B наблюдаются при однородных или слабо
315 возмущенных дугах на северной части неба, в основном, вечером. Такие
316 индексы можно ожидать при небольшом числе линейных, сильно вытянутых
317 структурах в свечении.

318 Сравнительно неожиданным оказалась в среднем линейная
319 зависимость значения индекса временных флюктуаций C от спектрального
320 индекса A , см. рис.2-б: $\langle C \rangle = \langle A \rangle - 1$. То есть, спектральный индекс вариации во
321 времени индекса анизотропии отличаются в среднем на 1 от спектрального
322 индекса пространственных вариаций интенсивности свечения в авроре.
323 Необходимо дальнейшее исследование причин этой зависимости.

324 Определенных зависимостей спектральных индексов от индексов AL,
325 AU, AE, Dst, SYM-H на данном наборе данных выявить не удалось, в то же
326 время, проявилась зависимость от вариаций геомагнитного поля в
327 расположенной близко к точке наблюдения обсерватории ПГИ «Ловозеро».
328 Отметим, что взрывные фазы суббури наблюдались при более низких
329 значениях H -компоненты локального магнитного поля, чем в среднем для
330 остальных событий с полярными сияниями. Кроме того, наблюдается
331 обратная пропорциональность между H и D компонентами локального
332 магнитного поля, при которых наблюдаются сияния на широте г.Апатиты.
333 При отрицательных значениях H компоненты сияния могут наблюдаться и
334 при положительных значениях D компоненты.

335 Результаты данного статистического анализа могут быть
336 использованы для построения эмпирической модели структуры полярных
337 сияний внутри аврорального овала. Прохождение радиоволн в среде с такой
338 структурой отличается от однородно ионизированной [Суворова и др., 2022].
339 Пример процедуры моделирования структуры полярного сияния при
340 заданных значениях фрактального индекса был приведен ранее в работе
341 [Kozelov and Golovchanskaya, 2010]. Моделирование строит шершавую
342 поверхность последовательным делением области моделирования пополам со

343 смещением точек по закону случайного Броуновского движения с заданными
344 показателями Херста $h_x = (A - 2)/2$ и $h_y = (A*B - 2)/2$, где ось x направлена
345 вдоль овала, а y — поперек овала, а показатели Херста h_x и h_y выражены
346 через индексы A и B . Здесь для упрощения считаем, что вдоль овала
347 распределение флюктуаций свечения характеризуется индексом $A=\max(a)$ и
348 поперек овала $A * B = \max(a) * \min(a)/\max(a) = \min(a)$.

349 Согласно тестам, описанным в [Kozelov, Golovchanskaya, 2010]
350 определение показателя Херста из приведенных пространственных индексов
351 A и B зависит от типа сияний, т.е. от высотного профиля свечения в сияниях
352 данного типа. Явно видимый на кадре высотный профиль добавляет 1 к
353 оценке пространственного индекса A . Так для сияний во время взрывной
354 фазы после коррекции на проекцию показатель Херста $h = (A - 2)/2$. Для
355 пульсирующих сияний высотный профиль сияний практически не влияет на
356 оценку индекса A , поэтому $h = (A - 1)/2$.

357 Дальнейшее продолжение данной работы предполагает расширение
358 статистики за счет рассмотрения данных из других точек наблюдения.

359 **Благодарность.** Авторы благодарят Дж. Х. Кинг и Н. Папаташвилли (J.H.
360 King, N. Papatashvilli) (Adnet Systems, NASA GSFC) за данные базы OMNI. Работа
361 поддержана грантом РНФ и Министерства образования и науки Мурманской
362 области №22-12-20017 «Пространственно-временные структуры в
363 околоземном космическом пространстве Арктики: от полярных сияний через
364 особенности самоорганизации плазмы к прохождению радиоволн».

365 **Список литературы**

- 367 1. Akasofu S.-I. Polar and magnetospheric substorm. Dordrecht: Holland, 1968. DOI: 10.1007/978-94-
368 010-3461-6
- 369 2. Feldstein Ya., Starkov S. Dynamics of Auroral Belt and Polar Geomagnetic Disturbances // Planet.
370 Space Sci. 1967. Vol. 15, no. 2. P. 209-229. DOI: 10.1016/0032-0633(67)90190-0
- 371 3. Hardy D.A., Gussenhoven M.S., Holeman E. A statistical model of auroral electron precipitation // J.
372 Geophys. Res. 1985. Vol. 90, no: A5. P. 4229-4248. DOI: 10.1029/JA090iA05p04229
- 373 4. Milan S. E., Evans T. A., and Hubert B: Average auroral configuration parameterized by geomagnetic
374 activity and solar wind conditions // Ann. Geophys. 2010. Vol. 28, no.4. P. 1003–1012. DOI:
375 10.5194/angeo-28-1003-2010
- 376 5. Vorobjev V.G., Yagodkina O.I., Katkalov Yu.V. Auroral Precipitation Model and its applications to
377 ionospheric and magnetospheric studies // J. Atm. S.-Terr. Phys. 2013. Vol.102. P.157–171. DOI:
378 10.1016/j.jastp.2013.05.007
- 379 6. Newell P. T., Liou K., Zhang Y., Sotirelis T., Paxton L. J., Mitchell E. J. OVATION Prime-2013:
380 Extension of auroral precipitation model to higher disturbance levels // Space Weather. 2014.
381 Vol.12, no.6. P.368-379. DOI: 10.1002/2014SW001056
- 382 7. Головчанская И. В., Козелов Б. В. Диапазон масштабов альфвеновской турбулентности в
383 верхней ионосфере авроральной зоны // Космические исследования. 2016. Т. 54, № 1. С. 52–
384 57. DOI: 10.7868/S002342061601009X
- 385 8. Kozelov B.V., Vorobjev V.G., Titova E.E., Popova T.A. Diagnostics of the High-Latitude Ionosphere
386 and Spatiotemporal Dynamics of Auroral Precipitations // Bulletin of the Russian Academy of
387 Sciences: Physics, 2024, V. 88, No. 3, pp. 394–399. DOI: 10.1134/S1062873823705573
- 388 9. Abry P., Flandrin P., Taqqu M.S., Veitch V. Wavelets for the analysis, estimation and synthesis of

- 389 scaling data // Self-Similar Network Traffic and Performance Evaluation. P. 39–88. N.J.: Wiley-
390 Interscience, 2000. DOI: 10.1002/047120644X.ch2
- 391 10. Kozelov B.V., Pilgaev S.V., Borovkov L.P., Yurov V.E. Multi-scale auroral observations in Apatity:
392 winter 2010–2011 // Geosci. Instrum. Method. Data Syst. 2012. Vol.1. P.1-6. DOI: 10.5194/gi-1-1-
393 2012
- 394 11. Oguti T. Similarity between global auroral deformations in DAPP photographs and smallscale
395 deformations observed by TV camera // J. Atmosph. Terr. Phys. 1975. Vol. 37, no.11. P.1413-1418.
396 DOI: 10.1016/0021-9169(75)90070-7
- 397 12. Kozelov B. V. Fractal approach to description of the auroral structure //Ann. Geophys. 2003. Vol.
398 21. P. 2011–2023. DOI: 10.5194/angeo-21-2011-2003
- 399 13. Chang T. Self-organized criticality, multi-fractal spectra, sporadic localized reconnections and
400 intermittent turbulence in the magnetotail // Phys. Plasmas. 1999. Vol.6, P.4137–4145. DOI:
401 10.1063/1.873678
- 402 14. Kozelov B. V., Uritsky V. M., Klimas A. J. Power law probability distributions of multiscale auroral
403 dynamics from ground-based TV observations // Geophys. Res. Lett. 2004. Vol. 31, no. 20. L20804,
404 DOI: 10.1029/2004GL020962.
- 405 15. Chernyshov A.A., Kozelov B.V., Mogilevsky M.M. Study of auroral ionosphere using percolation
406 theory and fractal geometry // J. Atmos. Sol.-Terr. Phy. 2017. Vol. 161. P. 127—133. DOI:
407 10.1016/j.jastp.2017.06.013
- 408 16. Chernyshov A.A., Mogilevsky M.M., Kozelov B.V. Use of fractal approach to investigate
409 ionospheric conductivity in the auroral zone // J. Geophys. Res. - Space. 2013. Vol. 118, no. 7. P.
410 4108—4118. DOI: 10.1002/jgra.50321
- 411 17. Харгривс Дж.К. Верхняя атмосфера и солнечно-земные связи // Ленинград:
412 Гидрометеоиздат. 1982. URL:
[https://publ.lib.ru/ARCHIVES/H/HARGRIVS Dj_K/_Hargriva Dj.K..html](https://publ.lib.ru/ARCHIVES/H/HARGRIVS_Dj_K/_Hargriva_Dj.K..html)
- 413 18. Суворова З.В., Мингалев И.В., Козелов Б.В. Влияние пространственных размеров областей
414 высыпания электронов на прохождение КВ сигналов // Материалы 20-й Международной
415 конференции «Современные проблемы дистанционного зондирования Земли из космоса».
416 Москва: ИКИ РАН, 2022. С. 393. DOI 10.21046/20DZZconf-2022
- 417 19. Kozelov B.V., Golovchanskaya I.V. Derivation of aurora scaling parameters from ground-based
418 imaging observations: Numerical tests // J.Geophys. Res. 2010. Vol. 115, no.2. A02204.
419 DOI:10.1029/2009JA014484
- 420 20. Козелов Б. В., Ролдугин А.В. Фрактальные характеристики структуры аврорального овала
421 на основе экспериментальных данных // Physics of auroral phenomena. 47 Annual Seminar.
422 Abstracts. PGI-24-01-14. 2024. C.30. URL: http://pgia.ru/seminar/abstracts_2024.pdf
- 423 21. Kozelov B.V., Titova E.E. Conjunction Ground Triangulation of Auroras and Magnetospheric
424 Processes Observed by the Van Allen Probe Satellite near 6 Re // Universe. 2023. Vol.9, no.8, #353,
425 DOI: 10.3390/universe9080353
- 426
- 427 Козелов Борис Владимирович – доктор физико-математических наук, доцент, главный
428 научный сотрудник, ФГБНУ Полярный геофизический институт,
429 SPIN-код 4317-0170
430 ссылка на профиль в WoS <https://www.webofscience.com/wos/author/record/N-2731-2013>
431 Scopus <https://www.scopus.com/authid/detail.uri?authorId=57195623641>
432 ИСТИНА https://istina.msu.ru/profile/bobkoz_pgi/
433 ResearchGate <https://www.researchgate.net/profile/B-Kozelov>